電磁場の量子化

目次

- 1. 光とは何か一電磁波と光子
- 2. 電磁気学のマックスウェル方程式
- 3. 電磁場中の荷電粒子の古典ハミルトニアン
- 4. 電磁場の方程式におけるゲージ変換とその不定性
- 5. ベクトル・ポテンシャルの平面波展開(フーリエ展開)
- 6. 電磁場の量子化
- 7. 量子化されたベクトルポテンシャル、ハミルトニアン、運動量

Made by R. Okamoto (Kyushu Institute of Technology) filename=電磁場量子化080718a.ppt

1. 光とは何か一電磁波と光子

電磁波:物理空間(真空)中を伝播する場合には波動<u>的</u>性質を示す。 直進、反射、屈折、干渉。トムソン散乱。

光子:物質粒子との相互作用(光子の吸収・消滅や散乱)の場合には 粒子的性質を示す。

光電効果、コンプトン散乱。電子陽電子の対消滅・光子対発生。

光電効果は太陽電池の基礎原理になっている!

電子陽電子の対消滅・光子対発生はガン病巣などPET診断の基礎原理となっている!

PET=positron emission tomography

したがって、(広義の)光は単純な波動でも、単純な粒子でない!

2.1 電磁気学のマックスウェル方程式

マックスウェル方程式(真空中)の微分形

$$\overrightarrow{\nabla} \cdot \mathbf{E} = \frac{\rho}{\varepsilon_0}, \cdots (1)$$

$$\overrightarrow{\nabla} \cdot \mathbf{B} = 0, \cdots (2)$$

$$\vec{\nabla} \times \mathbf{E} = -\frac{\partial \mathbf{B}}{\partial t}, \cdots (3)$$

$$\vec{\nabla} \times \mathbf{B} = \varepsilon_0 \mu_0 \frac{\partial \mathbf{E}}{\partial t} + \mu_0 \mathbf{j}, \cdots (4)$$

- E 電場(ベクトル)
- **B** 磁束密度(**ベクトル**) **B** = μ₀**H**, **H** : 磁場ベクトル

電場に対するガウスの法則 (電荷は電気力線の源) 磁場に対するガウスの法則 (磁力線は閉じている)

ファラデーの電磁誘導の法則 (磁東密度の時間変化率に比例し、 変化を妨げる向きに、誘導電場が発生)

アンペアーマックスウェルの法則

- ε_0 真空の誘電率
 - μ。 真空の透磁率

ρ:電荷密度 電流密度(ベクトル):単位断面積あたりの電流の大きさ・向き

電磁波とそのエネルギーの流れ

マックスウェル方程式からの電場、磁場の波動方程式の導出

$$\nabla^{2}\mathbf{E} = \varepsilon_{0}\mu_{0}\frac{\partial^{2}\mathbf{E}}{\partial t^{2}}, \nabla^{2}\mathbf{B} = \varepsilon_{0}\mu_{0}\frac{\partial^{2}\mathbf{B}}{\partial t^{2}} \rightarrow \frac{1}{\varepsilon_{0}\mu_{0}} = c^{2}; c = \text{光速度}!$$

光=電磁波:物理空間(真空)は電磁波を伝える性質をもつこと

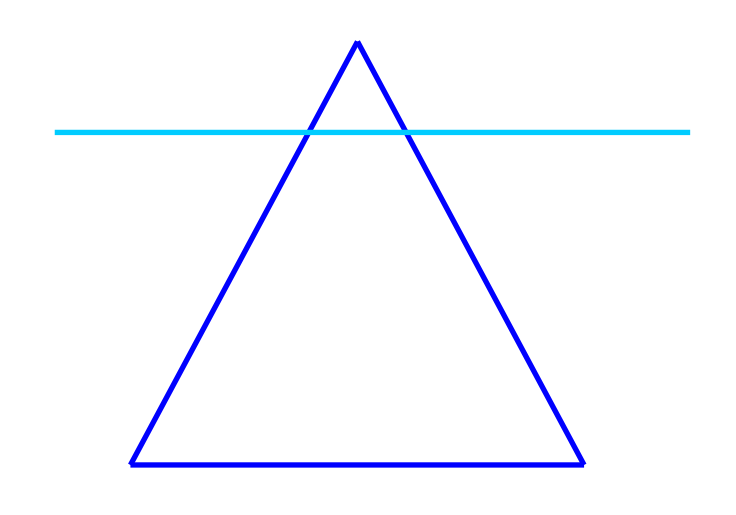
ポインティング・ベクトル (Poynting vector)

$$\mathbf{S} \equiv \mathbf{E} imes \mathbf{H}$$
, 電磁波のエネルギー流れの密度 $\mathbf{B} = \mu_0 \mathbf{H}$

スカラー・ポテンシャルとベクトル・ポテンシャルの導入

$$\mathbf{E} = -\nabla \phi - \frac{\partial \mathbf{A}}{\partial t} \cdots (5) \qquad \mathbf{B} = \nabla \times \mathbf{A} \cdots (6)$$

静雷場 誘導電場



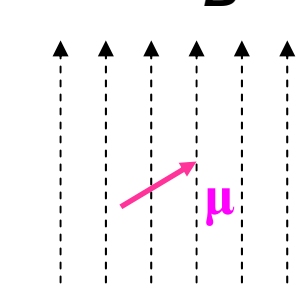
氷山の一角としての電場、磁場

氷山全体としてのスカラー・ポテンシャル、 ベクトル・ポテンシャル

3. 電磁場中の荷電粒子の古典ハミルトニアン

電荷q、質量mの磁気モーメント μ をもつ荷電粒子の運動量p、 静電ポテンシャル ϕ 、ベクトルポテンシャル Λ の中のハミルトニアン

$$H = \frac{1}{2m} (\mathbf{p} - q\mathbf{A})^2 + q\phi - \mathbf{\mu} \cdot \mathbf{B}$$
$$= \frac{1}{2m} (\mathbf{p} - q\mathbf{A})^2 + q\phi - \mathbf{\mu} \cdot (\nabla \times \mathbf{A})$$



$$\mathbf{E} = -\nabla \phi - \frac{\partial \mathbf{A}}{\partial t}$$
 $\mathbf{B} = \nabla \times \mathbf{A}$ 静電場 誘導電場

$$\frac{d\mathbf{p}}{dt} = q\left(\mathbf{E} + \mathbf{v} \times \mathbf{B}\right)$$
ローレンツカ

$$\frac{dp_{x}}{dt} = -\frac{\partial H}{\partial x}, \frac{dp_{y}}{dt} = -\frac{\partial H}{\partial y}, \frac{dp_{z}}{dt} = -\frac{\partial H}{\partial z};$$

$$\frac{dx}{dt} = \frac{\partial H}{\partial p_{x}}, \frac{dy}{dt} = \frac{\partial H}{\partial p_{y}}, \frac{dz}{dt} = \frac{\partial H}{\partial p_{z}}$$

自由電磁場のハミルトニアン(エネルギー)

$$H_{0} = \frac{1}{8\pi} \iiint (\mathbf{E}^{2} + \mathbf{H}^{2}) d^{3}\mathbf{r}$$

$$= \frac{1}{8\pi} \iiint (\frac{1}{c^{2}} \frac{\partial \mathbf{A}}{\partial t} \cdot \frac{\partial \mathbf{A}}{\partial t} + \sum_{j=1}^{3} \partial_{j} \mathbf{A} \cdot \partial_{j} \mathbf{A}) d^{3}\mathbf{r} \cdots (7)$$

$$\sum_{j=1}^{3} \partial_{j} \mathbf{A} \cdot \partial_{j} \mathbf{A} = \frac{\partial \mathbf{A}}{\partial x} \cdot \frac{\partial \mathbf{A}}{\partial x} + \frac{\partial \mathbf{A}}{\partial y} \cdot \frac{\partial \mathbf{A}}{\partial y} + \frac{\partial \mathbf{A}}{\partial z} \cdot \frac{\partial \mathbf{A}}{\partial z}$$

4. 電磁場の方程式におけるゲージ変換とその不定性

ポテンシャルの従う方程式(一般)

$$\nabla^{2} \phi - \frac{1}{c} \frac{\partial}{\partial t} \nabla \cdot \mathbf{A} = 0 \cdots (1)$$

$$-\nabla (\nabla \cdot \mathbf{A}) + \Delta \mathbf{A} - \frac{1}{c^{2}} \frac{\partial^{2} \mathbf{A}}{\partial^{2} t} - \frac{1}{c^{2}} \frac{\partial (\nabla \phi)}{\partial t} = \mu_{0} \mathbf{j}, \cdots (2) (真空: \phi = 0, \mathbf{j} = 0)$$

ゲージ変換と電磁場のゲージ不変性

クーロン・ゲージを採用すると

$$\nabla \cdot \mathbf{A}(\mathbf{r}, t) = 0 \cdots (4)$$

$$\Delta \mathbf{A}(\mathbf{r}, t) - \frac{1}{c^2} \frac{\partial^2 \mathbf{A}(\mathbf{r}, t)}{\partial^2 t} = 0 \cdots (5)$$

5. ベクトル・ポテンシャルの平面波展開(フーリエ展開)

ベクトル・ポテンシャルを3次元フーリエ展開する

$$\mathbf{A}(\mathbf{r},t) = \frac{1}{\sqrt{V}} \sum_{\mathbf{k}} \mathbf{q}(\mathbf{k},t) \exp(i\mathbf{k} \cdot \mathbf{r}) \cdots (1)$$

この展開式をベクトルポテンシャルが満たす式,4の式(5)に代入すると

$$\frac{d^2}{dt^2}\mathbf{q}(\mathbf{k},t) = -c^2\mathbf{k}^2\mathbf{q}(\mathbf{k},t)\cdots(2)$$

$$\rightarrow \mathbf{q}(\mathbf{k},t) = \mathbf{q}(\mathbf{k})\exp(-i\omega_k t), \, \omega_k \equiv ck\cdots(3)$$
角振動数ω=ckの複素振動子

ベクトルポテンシャルが実数であることを考慮して、次式のように表す。

$$\mathbf{A}(\mathbf{r},t) = \frac{1}{\sqrt{V}} \sum_{\mathbf{k}} \left[\mathbf{q}(\mathbf{k}) \cdot \exp(i\mathbf{k} \cdot \mathbf{r} - i\omega_k t) + \mathbf{q}^*(\mathbf{k}) \cdot \exp(-i\mathbf{k} \cdot \mathbf{r} + i\omega_k t) \right] \cdots (4)$$

ところが、この式(4)では4の式(4)(=横波条件)を満たしていない!

ベクトル展開係数を波数ベクトルの方向とそれに垂直な2つの方向成分に分解する。

$$\mathbf{q}(\mathbf{k}) = q^{(1)}(\mathbf{k})\mathbf{e}^{(1)}(\mathbf{k}) + q^{(2)}(\mathbf{k})\mathbf{e}^{(2)}(\mathbf{k}) + q^{(\ell)}(\mathbf{k})\mathbf{e}^{(\ell)}(\mathbf{k}) \text{ (l=longitudinal wave, 縦波)}$$

$$= \sum_{p=1,2,\ell} q^{(p)}(\mathbf{k})\mathbf{e}^{(p)}(\mathbf{k})\cdots(5),$$

$$\mathbf{q}^*(\mathbf{k}) = \sum_{p=1,2,\ell} q^{(p)^*}(\mathbf{k})\mathbf{e}^{(p)}(\mathbf{k})\cdots(6),$$

$$\mathbf{q}^*(\mathbf{k}) = \sum_{p=1,2,\ell} q^{(p)^*}(\mathbf{k})\mathbf{e}^{(p)}(\mathbf{k})\cdots(6),$$

式(5),(6)を(4)に代入して、4の式(4)より

$$\mathbf{A} \propto \sum_{p} q^{(p)} \mathbf{e}^{(p)} \exp(i\mathbf{k} \cdot \mathbf{r})$$

$$\rightarrow \nabla \cdot \mathbf{A} \propto \left[q^{(1)} i k_x + q^{(2)} i k_y + q^{(\ell)} i k_z \right] q^{(1)} i k_x \exp(i \mathbf{k} \cdot \mathbf{r})$$

$$\rightarrow \mathbf{k} \cdot \mathbf{q}(\mathbf{k}) = kq^{(\ell)}(\mathbf{k}) = 0, \quad \mathbf{k} \cdot \mathbf{q}^*(\mathbf{k}) = kq^{(\ell)*}(\mathbf{k}) = 0, \dots (7)$$

4の式(4)は電磁波には縦波がないという条件を意味する! 結局、ベクトルポテンシャルは次式のように展開される。

$$\mathbf{A}(\mathbf{r},t) = \frac{1}{\sqrt{V}} \sum_{\mathbf{k}} \sum_{p=1,2} \left[q^{(p)}(\mathbf{k}) \cdot \exp(i\mathbf{k} \cdot \mathbf{r} - i\omega_k t) + q^{*(p)}(\mathbf{k}) \cdot \exp(-i\mathbf{k} \cdot \mathbf{r} + i\omega_k t) \right] \mathbf{e}^{(p)}(\mathbf{k}) \cdots (8)$$

6. 電磁場の量子化

量子化
$$q^{(p)}(\mathbf{k}), q^{*(p)}(\mathbf{k}) \rightarrow \hat{q}^{(p)}(\mathbf{k}), \hat{q}^{\dagger(p)}(\mathbf{k})$$

$$\left[\hat{q}^{(p)}(\mathbf{k}), \hat{q}^{\dagger(p')}(\mathbf{k}') \right] = \frac{4\hbar c^2}{2\omega_k} \delta_{\mathbf{k}\mathbf{k}'} \delta_{pp'},$$

$$\left[\hat{q}^{(p)}(\mathbf{k}), \hat{q}^{(p')}(\mathbf{k}') \right] = \left[\hat{q}^{\dagger(p)}(\mathbf{k}), \hat{q}^{\dagger(p')}(\mathbf{k}') \right] = 0 \cdots (9)$$

ボース粒子型生成・消滅演算子の導入

$$\hat{\boldsymbol{q}}^{(p)}(\mathbf{k}) = \sqrt{\frac{4\hbar c^2}{2\omega_k}} \hat{\boldsymbol{b}}_{\mathbf{k}}^{(p)}, \hat{\boldsymbol{q}}^{\dagger(p)}(\mathbf{k}) = \sqrt{\frac{4\hbar c^2}{2\omega_k}} \hat{\boldsymbol{b}}_{\mathbf{k}}^{(p)\dagger} \cdots (10)$$

$$\rightarrow \left[\hat{\boldsymbol{b}}_{\mathbf{k}}^{(p)}, \hat{\boldsymbol{b}}_{\mathbf{k}}^{(p)\dagger}\right] = \delta_{\mathbf{k}\mathbf{k}} \delta_{pp'},$$

$$\left[\hat{\boldsymbol{b}}_{\mathbf{k}}^{(p)}, \hat{\boldsymbol{b}}_{\mathbf{k}}^{(p)}\right] = \left[\hat{\boldsymbol{b}}_{\mathbf{k}}^{(p)\dagger}, \hat{\boldsymbol{b}}_{\mathbf{k}}^{(p)\dagger}\right] = 0 \cdots (11)$$

7. 量子化されたベクトルポテンシャル、ハミルトニアン、運動量

$$\widehat{\mathbf{A}}(\mathbf{r},t) = \sqrt{\frac{4\pi\hbar c^2}{V}} \sum_{\mathbf{k}} \sum_{p=1,2} \frac{\mathbf{e}^{(p)}(\mathbf{k})}{\sqrt{2\omega_k}} \left\{ \widehat{\mathbf{b}}_{\mathbf{k}}^{(p)} \exp(i\mathbf{k} \cdot \mathbf{r} - i\omega_k t) + \widehat{\mathbf{b}}_{\mathbf{k}}^{(p)\dagger} \exp(-i\mathbf{k} \cdot \mathbf{r} + i\omega_k t) \right\} \cdots (12)$$

振幅は離散的な値のみが許される!

3の式(7)、古典電磁場ハミルトニアンに式(8)を代入すると

$$H_{0} = \frac{1}{8\pi} \sum_{\mathbf{k}} \sum_{p=1,2} \left(\frac{\omega_{k}^{2}}{c^{2}} + \mathbf{k}^{2} \right) \left\{ q^{(p)}(\mathbf{k}) q^{(p)\dagger}(\mathbf{k}) + q^{(p)\dagger}(\mathbf{k}) q^{(p)}(\mathbf{k}) \right\} \cdots (13)$$

式(10)を代入する(量子化する)と

$$\frac{\hat{\boldsymbol{H}}_{0}}{\boldsymbol{H}_{0}} = \frac{1}{2} \sum_{\mathbf{k}} \sum_{p=1,2} \hbar \omega_{k} \begin{pmatrix} \hat{\boldsymbol{b}}_{\mathbf{k}}^{(p)} + \hat{\boldsymbol{b}}_{\mathbf{k}}^{(p)} + \hat{\boldsymbol{b}}_{\mathbf{k}}^{(p)} + \hat{\boldsymbol{b}}_{\mathbf{k}}^{(p)} + \hat{\boldsymbol{b}}_{\mathbf{k}}^{(p)} \end{pmatrix}$$
古典電磁場の量子化による
光子(フォトン)の実現
$$= \sum_{\mathbf{k}} \sum_{p=1,2} \hbar \omega_{k} \begin{pmatrix} \hat{\boldsymbol{b}}_{\mathbf{k}}^{(p)} + \hat{\boldsymbol{b}}_{\mathbf{k}}^{(p)} + \frac{1}{2} \end{pmatrix} \cdots (14)$$

波数kをもつ光子(フォトン)のエネルギー= $\hbar\omega_{\nu}$

ひとつの波数kをもつ光子にはp=1.2の2種類:偏光(polarization)が2つあること

電磁場の運動量

$$\mathbf{G} \equiv \frac{1}{4\pi c} \iiint (\mathbf{E} \times \mathbf{H}) d^3 \mathbf{r} \cdots (15) : Poynting ベクトルの積分$$

量子化

$$\widehat{\mathbf{G}} = \sum_{\mathbf{k}} \sum_{p=1,2} \hbar \mathbf{k} \hat{\mathbf{b}}_{\mathbf{k}}^{(p)\dagger} \hat{\mathbf{b}}_{\mathbf{k}}^{(p)} \cdots (16)$$

波数kをもつ光子は運動量 \hbar kをもつこと!!

参考文献

D. K. Ferry「デバイス物理のための量子力学」、丸善。1996年。9章。

小出昭一郎「量子力学(Ⅱ)一改訂版一」,裳華房、1990年。11章。

高橋 康「物性研究者のための場の量子論 I」、培風館。1984年。1,2章。